

Uporedna analiza metoda prora una uticaja lokalnog savijanja pojasa jednošinskih nosa a dizalica

GORAN M. CVIJOVI , Vazduhoplovna akademija, Beograd
SR AN M. BOŠNJAK, Univerzitet u Beogradu,
Mašinski fakultet, Beograd

Originalni nau ni rad
UDC: 621.873-21:519.6
DOI: 10.5937/tehnika1604563C

Rezultati numeri ko-eksperimentalnih istraživanja problema lokalnog savijanja, obavljenih na klasi nim i srednje širokim I profilima, predstavljali su osnovu za donošenje aktuelnog standarda (EN 15011:2014) koji propisuje postupak prora una lokalnih napona izazvanih dejstvom to kova kolica. S obzirom na injenicu da se za izradu glavnih nosa a jednošinskih transportnih sistema danas dominantno koriste širokopojasni IPB (HE-A, HE-B) profili, u radu su prezentirani rezultati prora una lokalnih napona izazvanih dejstvom to kova kolica na pojasa profila HE-A, primenom metoda i postupaka relevantnih istraživa a, postupka koji propisuje standard EN 15011, kao i rezultati prora una primenom metode kona nih elemenata. Na osnovu uporedne analize rezultata uo eno je da u zoni tranzicije donji pojasi/rebro poduzni lokalni naponi na donjoj konturi pojasa, odre eni primenom navedenog standarda imaju zatežu i karakter, dok sve ostale metode, uklju uju i i metodu kona nih elemenata, daju pritiskuju i karakter razmatranih napona. Osim toga, svi navedeni postupci, izuzev metode kona nih elemenata, usvajaju pretpostavku da su na gornjoj i donjoj konturi optere enog pojasa apsolutne vrednosti napona izazvanih lokalnim savijanjem jednake, što nema fizi kog opravdanja. Imaju i u vidu injenicu da identifikacija napona izazvanih lokalnim savijanjem pojasa predstavlja izuzetno važnu etapu dokazivanja vrsto e jednošinskih nosa a, zaklju uje se da primena standarda EN 15011 ne daje pouzdane rezultate kada je re o širokopojasnim profilima.

Klju ne re i: jednošinski nosa i dizalica, lokalno savijanje, EN 15011, metoda kona nih elemenata

1. UVOD

Razli iti sistemi unutrašnjeg transporta široko koriste koncept kolica ovešenih o valjani profil, koji predstavlja baznu nose u konstrukciju za transport tereta. To kovi kolica kre u se po donjem pojusu profila i, pored opšteg savijanja nosa a, izazivaju i lokalna dejstva.

Istorijski posmatrano, kao glavni nosa i kod svih navedenih konstrukcionih rešenja najpre su koriš eni takozvani obi ni valjani I profili, sa pojasevima pod nagibom. Nedovoljna bo na stabilnost zbog relativno uskih pojaseva nosa a izvedenih od obi nih valjanih I profila zahteva njihovo konstrukciono oja avanje. To se, naj eš e, ostvaruje dodavanjem valjanog U profila na pritisnuti pojasi, ili dodavanjem kutijastog nosa a trapeznog ili pravougaonog popre nog preseka.

Obi ne valjane I profile sa pojasevima pod nagib-

Adresa autora: Goran Cvijovi , Vazduhoplovna akademija, Beograd, Bulevar vojvode Bojovi a 2

Rad primljen: 02.06.2016.

Rad prihva en: 13.06.2016.

om tokom vremena potisnuli su srednje široki valjani IPE profili sa paralelnom konturom pojaseva. Me u tim, zbog ograni enja vezanih za nosivost IPE profila (maksimalna veli ina IPE 600, tj. maksimalna visina 600 mm) u poslednjih više od 20 godina, za izradu glavnih nosa a jednogredih dizalica i dizali nih staza, dominantno se koriste širokopojasni IPB (HE-A, HE-B) profili.

Njihova nosivost je znatno ve a, jer se izra uju do maksimalne visine profila $h=1000$ mm. Od posebnog je zna aja i injenica da je po ev od veli ine 300 (HE-A 300, HE-B 300) do veli ine 1000 (HE-A 1000, HE-B 1000) širina pojaseva svih širokopojasnih IPB profila konstantna i iznosi $b=300$ mm.

Dejstvo to kova kolica izaziva lokalno savijanje donjeg pojasa nosa a i pojavu dvoosnog naponskog stanja, slika 1(a). Poduzni napon usled lokalnog savijanja ($\tau_{x,l}$) menja se po debljini pojasa, slika 1(b), i algebarski se sabira sa naponom od opšteg (globalnog) savijanja ($\tau_{x,f}$),

$$\tau_{x,tot} = \tau_{x,f} + \tau_{x,l}. \quad (1)$$

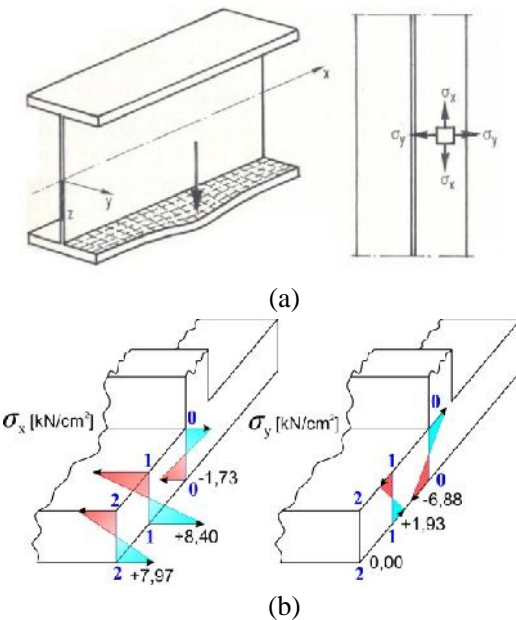
Napon usled popre nog savijanja pojasa nosa a (σ_y) takođe se menja po debljini pojasa nosa a, slika 1 (b).

Naponi izazvani lokalnim dejstvom točka (opterećenje F) na rastojanju i od slobodne ivice donjeg pojasa (debljine t), određuju se na osnovu opštih izraza

$$\tau_{Fx} = c_x(i) \frac{F}{t^2}, \quad (2)$$

$$\tau_{Fy} = c_y(i) \frac{F}{t^2}, \quad (3)$$

u kojima su $c_x(i)$ i $c_y(i)$ naponski koeficijenti u podužnom i poprečnom pravcu, slika 2. Umesto rastojanja i , esto se koriste bezdimenzionalni parametri položaja točka, koji uzimaju u obzir odnos rastojanja točka od slobodne ivice pojasa i širine pojasa, na primer: $c/a = (a-i)/a$, slike 2 i 9; $= 2i/(b-s)$, slike 7 i 10.



Slika 1 – (a) Lokalno dejstvo točke kova na donji pojaz glavnog nosa a [1]; (b) distribucija napona izazvanih globalnim i lokalnim savijanjem [2]

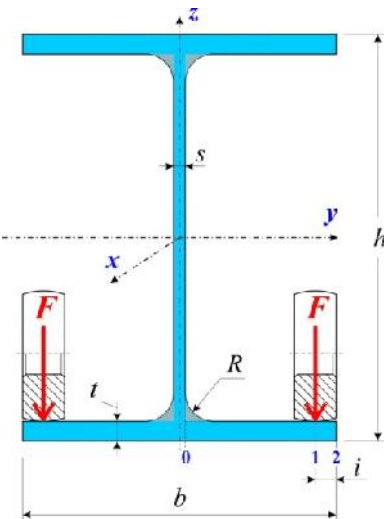
Osim od intenziteta opterećenja, veličine napona izazvanih lokalnim savijanjem zavise i od debljine pojasa. Obično (klasični) I profili imaju veće debljine pojaseva od IPE profila, iako su pojasevi najtanji za istu visinu poprečnog preseka. Kod širokopojasnih profila IPB (HE-A, HE-B) debljine pojaseva znatno su veće, zbog čega se oni danas dominantno koriste za izradu glavnih nosa a.

Prva rešenja [3] problema određivanja napona izazvanih lokalnim savijanjem pojaseva nosa a dobijena su primenom teorije savijanja ploča. Nakon toga, vršena su eksperimentalna istraživanja sa ciljem da se što ta nije odredi lokalno naponsko stanje. Istraživanja

Hanover i Rajhvalda [4, 5], obavljena za potrebe FEM (Fédération Européenne de la Manutention), obuhvatila su rezultate svih prethodnih referentnih istraživanja [6, 7, 8, 9] i predstavljala su osnovu za donošenje aneks-a E standarda EN 15011 [10], koji je usvojila i naša zemlja (SRPS EN 15011:2014). Na osnovu analize radova od kojih su u svom istraživanju pošli Hanover i Rajhvald, zaključuje se da su sva eksperimentalna istraživanja obavljena na klasičnim I profilima, odnosno na profilima kod kojih su konture pojaseva pod nagibom, kao i na srednje širokim IPE profilima sa平行ним konturama pojaseva. U postoji ovoj literaturi, problem identifikacije lokalnog naponskog stanja širokopojasnih IPB profila (HE-A, HE-B) nije razmatran. Upravo zbog toga, nametnuto se pitanje tačnosti primene izraza formiranih na osnovu istraživanja klasičnih I profila, kao i srednje širokih IPE profila, na problem identifikacije lokalnog naponskog stanja širokopojasnih IPB profila, imaju u vidu injenicu da se njihove geometrijske karakteristike znatno razlikuju od geometrijskih karakteristika pomenutih klasa profila.

2. PREGLED POSTUPAKA I IZRAZA ZA PRORA UNA LOKALNOG NAPONSKOG STANJA

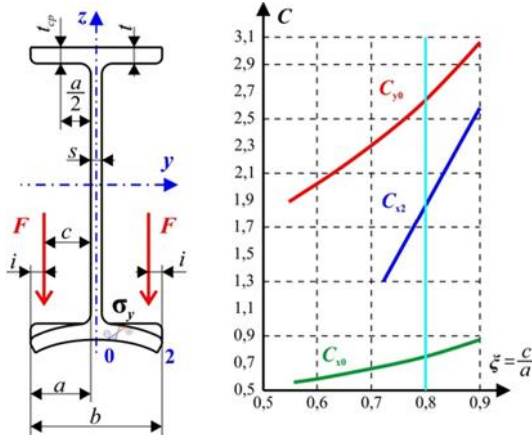
Izgled poprečnog preseka nosa a opterećenog lokalnim dejstvom točke kova kolica, slika 2, asocirao je i navodio većinu istraživača da problem lokalnog savijanja rešava korišćenjem modela ekvivalentne konzole, iako širina odgovara širini zone lokalnog uticaja točke. Saglasno tome, najveći naponi u ekvivalenti su u zoni tranzicije donjeg pojasa/rebro, odnosno u ukleštenju ekvivalentne konzole, presek 0, slika 2, dok naponska stanja neposredno ispod točke (presek 1) i na slobodnoj ivici donjeg pojasa (presek 2) nisu podrobno analizirana, osim u standardu EN 15011.



Slika 2 - Nosa otvorenog poprečnog preseka (HE-A 360) opterećen točkovima kolica

2.1 Gohberg

Sintezom teorijskog rešenja Papkovića [3] i rezultata eksperimentalnog istraživanja na valjanom I profilu koje je dao Rozenštajn [11], Gohberg [12] je na osnovu rezultata sopstvenih istraživanja definisao kružne krive za identifikaciju lokalnih naponskih stanja donjem pojasa izloženog dejstvu točkova kolica koja nose vtič sa teretom, slika 3.

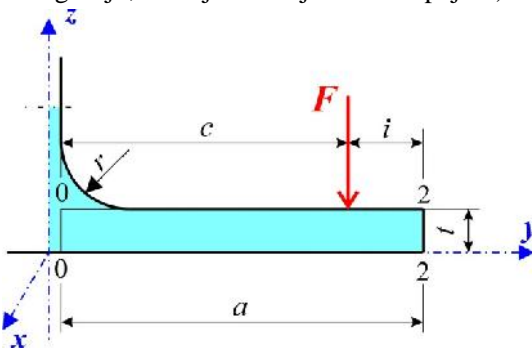


Slika 3 - Položaj opterećenja i dijagrami naponskih koeficijenata [12]

2.2 Klepel i Li (Klöppel, Lie)

Postupak proračuna prema Klepelu i Liu [13], zasnovan na teoriji ploha, slika 4, ne omogućava da se lokalni naponi odredu za širi spektar položaja točaka, već samo za konstantnu vrednost parametra položaja točaka $c/a=0,85$.

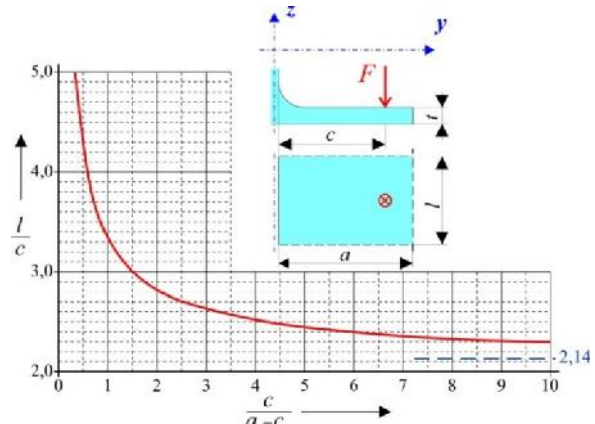
Ona kod širokopojasnog profila HE-A 360 odgovara udaljenosti točaka od slobodne ivice pojasa $i=21,8$ mm, što pripada domenu koji se dominantno sreće u inženjerskoj praksi. Prema Klepelu i Liu vrednosti naponskih koeficijenata iznose: $c_{x0}=\pm 0,84$; $c_{y0}=\pm 2,8$; $c_{x2}=\mp 1,6 \div 1,8$; $c_{y2}=0$ (gornji predznak odnosi se na gornju, a donji na donju konturu pojasa).



Slika 4 - Proračunski model po Klepelu i Liu [13]

2.3 Zamel (Sahmel)

Prema Zamelu [9] proračun lokalnih naponskih stanja u zoni tranzicije donji pojasc/rebro, izvodi se na modelu ekvivalentne konzole, i ja širina (l) zavisi od položaja točaka, slika 5.



Slika 5 - Proračunski model po Zamelu [9]

Moment u ukleštenju ekvivalentne konzole (presek 0) i otporni moment poprečnog preseka određuju se na osnovu izraza

$$M_y = Fc, \quad (4)$$

$$W_y = \frac{lt_f^2}{6}. \quad (5)$$

U preseku 0, normalni napon u poprečnom pravcu, izazvan lokalnim savijanjem pojasa, određuje se na osnovu izraza

$$\tau_{y0} = \pm \frac{M_y}{W_y}, \quad (6)$$

dok se vrednost lokalnog normalnog napona u poprečnom pravcu izračuna primenom izraza

$$\tau_{x0} = \pm \epsilon \tau_{y0}. \quad (7)$$

2.4 Švajcarske preporuke B1

Postupak proračuna propisan švajcarskim preporukama iz 1979. godine, „Berechnungsgrundlagen für Kranbahnen“ [14], zasnovan je na Zamelovoj ideji, odnosno, modelu ekvivalentne konzole, slika 6.

Usvaja se da širina ekvivalentne konzole na mestu ukleštenja pojasa na rebro iznosi:

$$l = 2,2c, \quad (8)$$

pri čemu je:

$$c = a - r - i, \quad (9)$$

$$a = 0,5(b - s), \quad (10)$$

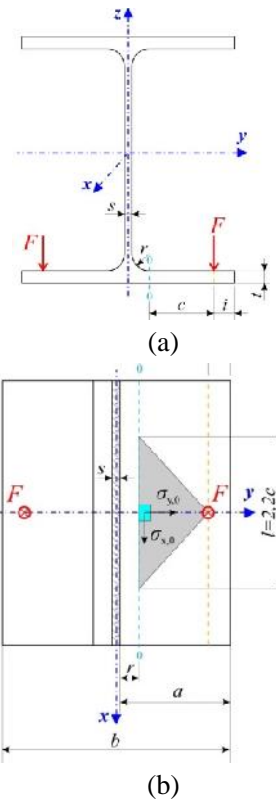
slika 6.

Moment u ukleštenju ekvivalentne konzole (presek 0), otporni moment njenog poprečnog preseka, kao i vrednosti poprečnih lokalnih napona određuju se na isti način kao i kod Zamelovog postupka, analogno izrazima (4), (5) i (6),

$$M_0 = Fc, \quad (11)$$

$$W_0 = \frac{lt_f^2}{6} = \frac{2,2ct_f^2}{6}, \quad (12)$$

$$\tau_{y0} = \pm \frac{M_0}{W_0} = \pm \frac{Fc}{2,2ct_f^2} = \pm 2,73 \frac{F}{t_f^2}. \quad (13)$$



Slika 6 - Proračunski model po švajcarskim preporukama B1: (a) centralni poprečni presek nosa a; (b) širina poprečnog preseka ekvivalentne konzole [14]

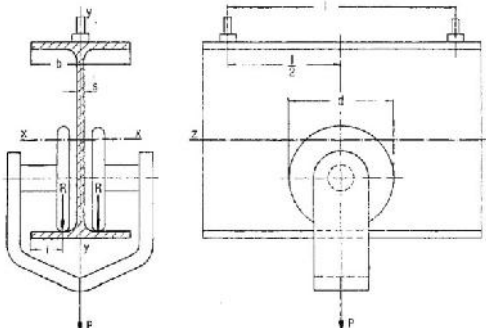
Prema citiranim preporukama, usvaja se da je vrednost podužnog normalnog napona izazvanog lokalnim dejstvom točka jednaka vrednosti poprečnog napona, odnosno da je

$$\tau_{x0} = \tau_{y0}. \quad (14)$$

2.5 Beker (Becker)

Relativno velika odstupanja rezultata dobijenih na osnovu klasične teorije ploča i eksperimentalnih istraživanja, podstakla su Bekera [6] na intenzivan istraživački rad, dominantno eksperimentalnog karaktera. On je svojim istraživanjima obuhvatio klasične I profile, kao i, tada nove, IPE profile sa paralelnim konturama pojaseva (IPE 200, IPE 300 i IPE 360). Opitni nosa i raspona $l=4920$ mm, bili su zavrtnjima vezani za oslonce, slika 7, dok se opterećenje unosilo

posredstvom simulatora kolica (postavljenog u sredini raspona nosa a) o koji je ovešen teret. Simulatori točka bili su diskovi prenika $d=100$ mm i $d=160$ mm, debljine 14 mm, sa radijusom kontaktne površine 15 mm.



Slika 7 - Opitni nos i simulator kolica [6]

Na osnovu maksimalnih vrednosti napona koje se javljaju kada se točka nalazi neposredno iznad mernog mesta, Beker je postavio izraz za određivanje vrednosti naponskog koeficijenta u takoj donjem pojasa neposredno ispod točke,

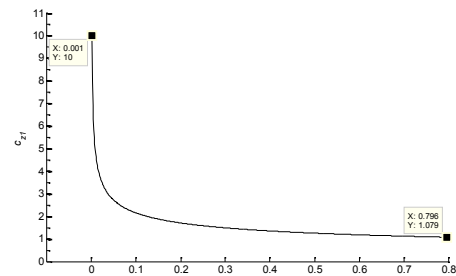
$$c_{z1} = \sqrt[3]{\frac{b-s}{2i}} = \sqrt[3]{\frac{1}{\lambda}}. \quad (15)$$

Na osnovu strukture izraza (15) zaključuje se da on daje izuzetno visoke vrednosti kada se točka nalazi vrlo blizu slobodne ivice pojasa, slika 8, odnosno da je

$$\lim_{\lambda \rightarrow 0} c_{z1} = \infty, \quad (16)$$

što je, u fizikalnom smislu, nemoguće.

Beker je smatrao da podužni napon lokalnog savijanja izračunat korištenjem naponskog koeficijenta definisanog izrazom (15), odgovara preseku pojasa udaljenom za $b/4$ od njegove slobodne ivice. Prema Bekeru, superponiranjem napona od opštег savijanja nosa a i lokalnog podužnog napona u pomenutom preseku, dobija se vrednost napona merodavna za dokazovanje.



Slika 8 - Kriva naponskog koeficijenta c_{z1} prema Bekeru

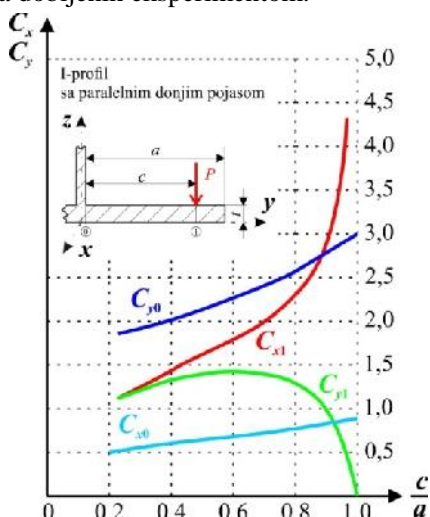
2.6 Mendel

U okviru doktorske disertacije Mendel [7, 8] je obavio značajna istraživanja i rezultati, u nekim

delovima, bili u dobroj saglasnosti sa rezultatima Bečerovih istraživanja. Dominantan doprinos Mendelovih istraživanja odnosio se na proračun lokalnih naponskih stanja klasi I profila, sa pojasevima pod nagibom. Problem je rešavao primenom klasi ne teorije ploča, a uticaj promene debljine pojasa (ploča e) uveo je promenljivom krutošću u ploču e. Tako postavljenu parcijalnu diferencijalnu jednaku drugog reda rešavao je primenom metode konačnih razlika. Kao merodavne preseke za identifikaciju lokalnog uticaja opterećenja pojasa usvojio je presek u zoni tranzicije donji pojasc/rebro (presek 0), kao i presek koji odgovara liniji dejstva opterećenja (presek 1). Važno je uočiti da Mendel nije razmatrao naponsko stanje na slobodnom kraju pojasa (presek 2). Osim za klasi I profile, Mendel je dao izraze i za identifikaciju lokalnih napona kod srednje širokih IPE profila sa paralelnim konturama pojasa. Primena klasi ne teorije ploča onemogućava da analizom obuhvati uticaj radijusa tranzicije donji pojasc/rebro. Na prikazima poprečnih preseka profila, ucrtava se pomenuti radius, ali je ta ka merodavna za naponsku analizu ipak smeštena u fiktivnoj tački preseka gornje konture pojasa i konture rebra. Vrednosti naponskih koeficijenata u podužnom (x) i poprečnom (y) pravcu određuju se u zavisnosti od vrednosti parametra položaja točka (c/a), na osnovu dijagrama prikazanih na slici 9.

Prema Mendelu, apsolutne vrednosti lokalnih napona u karakteristim presecima poprečnog preseka profila iste su na gornjoj i donjoj konturi opterećenog pojasa. To upućuje na zaključak da Mendel nije uočio kontaktne napone, što predstavlja ozbiljan propust.

Znajući Mendelovih istraživanja proistiće iz injenjerice da je on prvi izvršio uspešnu uzajamnu validaciju rezultata dobijenih primenom klasi ne teorije ploča i rezultata dobijenih eksperimentom.



Slika 9 - Mendelove krive naponskih koeficijenata za I profile sa paralelnim konturama pojasa [8]

2.7 Hanover i Rajhvald (Hannover, Reichwald) – standard EN 15011

Na osnovu kriterija analize rezultata istraživanja Bekera [6] i Mendela [7, 8], kao i na osnovu rezultata sopstvenih istraživanja, Hanover i Rajhvald [4, 5] su:

- usvojili takođe 0, 1 i 2, slika 10, kao merodavne za identifikaciju lokalnih napona i dokaz vrste enačbe nosa i izloženih dejstvu opterećenja izazvanih pritiskom tokova kolica koja se kreće u po donjem pojusu nosa a;
- za profile sa paralelnim konturama pojasa predložili sledeće izraze za izračunavanje vrednosti naponskih koeficijenata u podužnom (x) i poprečnom (y) pravcu,

$$c_{x0} = 0,050 - 0,580 \cdot \frac{2i}{b-s} + 0,148 e^{3,015}, \quad (16)$$

$$c_{x1} = 2,230 - 1,490 \cdot \frac{2i}{b-s} + 1,390 e^{-18,33}, \quad (17)$$

$$c_{x2} = 0,730 - 1,580 \cdot \frac{2i}{b-s} + 2,910 e^{-6,00}, \quad (18)$$

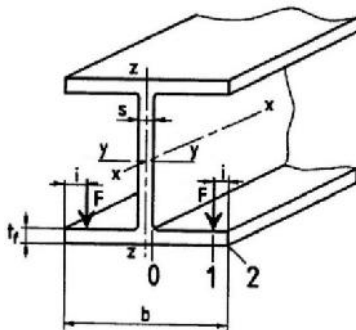
$$c_{y0} = -2,110 + 1,977 \cdot \frac{2i}{b-s} + 0,0076 e^{6,53}, \quad (19)$$

$$c_{y1} = 10,108 - 7,408 \cdot \frac{2i}{b-s} - 10,108 e^{-1,364}, \quad (20)$$

$$c_{y2} = 0, \quad (21)$$

pri čemu se vrednost parametra položaja točke određuje na osnovu izraza

$$\frac{2i}{b-s} = \frac{2i}{b-s}. \quad (22)$$



Slika 10 - Poprečni presek, opterećenje i položaj merodavnih tačaka I profila sa paralelnom konturom pojasa [4]

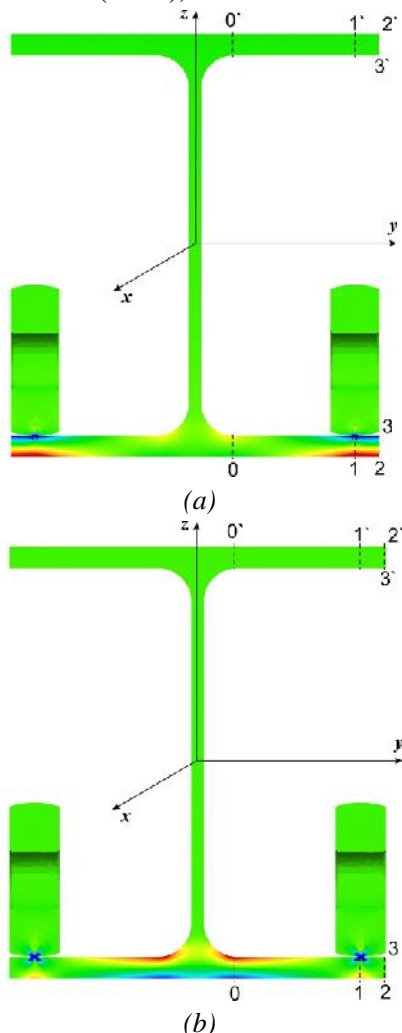
Naponski koeficijenti u korespondentnim tačkama gornje konture pojasa imaju suprotan predznak [4], što znači da su apsolutne vrednosti napona na gornjoj i donjoj konturi jednakе.

Osim eksperimentalnih istraživanja, u okviru radne grupe CETIM koju je formirao FEM (sekcija IX, Nr 9.341, 1978) izvršena su i konjugaciona elementna istraživanja lokalnog naponskog stanja. Hanover i Rajhvald koristili su softver SAP IV-B, diskretizujući

prora unski domen kona nim elementima tipa plohe. Na taj način nije bilo moguće modelirati zonu tranzicije sa odgovarajućim radijusom, što predstavlja ozbiljan problem kada je reč o klasi srednje širokih profila (IPE). Upravo zbog toga, Hanover i Rajhvald navode da u takoj postoji znatno odstupanje rezultata kona noelementne analize u odnosu na rezultate dobijene na osnovu eksperimenta.

3. NUMERIČKI PRIMER I DISKUSIJA

Da bi se izvršila uporedna analiza rezultata koji se dobijaju primenom postupaka i izraza koje daju referentni autori i standardi/norme, izvršen je proračun lokalnih napona za nosača izveden od profila HE-A 360, slika 2, čije su geometrijske karakteristike, karakteristike materijala i opterećenje dati u tabeli 1. Osim postupaka prezentiranih u odeljku 2., analiza lokalnog naponskog stanja izvedena je i primenom metode koničnih elemenata (MKE), slika 11.



Slika 11 - Konačnoelementna identifikacija naponskih stanja usled dejstva točkova kolica: (a) ukupni normalni naponi u pravcu ose x; (b) ukupni normalni naponi u pravcu ose y

Tabela 1. Veličine neophodne za identifikaciju lokalnih napona

Naziv	Oznaka	Vrednost
Visina profila	H	350 mm
Širina pojasa	b	300 mm
Debljina pojasa	t_f	17,5 mm
Debljina rebra	s	10 mm
Radius tranzicije rebro/pojas	r	27 mm
Udaljenost točka od slobodne ivice pojasa	i	20 mm
Modul elastičnosti	E	21000 kN/cm ²
Poasonov koeficijent		0,3
Opterećenje točka	F	10 kN

Eliminacija napona izazvanih globalnim savijanjem u referentnim tačkama donjeg pojasa (0, 1, 2) izvršena oduzimanjem vrednosti odgovarajućih napona u korespondentnim tačkama gornjeg pojasa (0', 1', 2'), sa promenjenim predznakom.

Rezultati proračuna prezentirani su u tabeli 2.

Tabela 2. Naponi izazvani lokalnim savijanjem

Autor	Lokalni naponi (kN/cm ²)					
	x			y		
	presek					
	0	1	2	0	1	
Gohberg	± 1,96	–	+	± 7,51	± 7,35	–
Klepel i Li	± 0,84	–	+	± 5,55	± 9,14	–
Zamel	± 2,48	–	–	± 8,28	–	–
Švajcarske preporuke B1	± 8,91	–	–	± 8,91	–	–
Beker	–	+4,56	–	–	–	–
Mendel	± 2,61	+	–	± 8,82	+	3,92
Hanover i Rajhvald - EN 15011	+	–	–	± 5,94	+	2,32
MKE	+1,80 -1,41	*	+8,32	+	+7,13 -6,35	*
				7,12		+3,63

*kontaktni napon

Na osnovu uporedne analize rezultata prezentiranih u tabeli 2 zaključuje se sledeće:

- postoji znatno odstupanje proračunskih vrednosti lokalnih napona;
- prema svim referentnim autorima i izvorima, poduzni lokalni naponi na donjoj konturi, u preseku

- 0, pritiskujući su karaktera, izuzev kod Hanovera i Rajhvalda, odnosno, standarda EN 15011;
- svi autori, izvor i standard EN 15011 navode da su absolutne vrednosti napona u korespondentnim tačkama jednake.

Tvrđnja da su absolutne vrednosti napona u korespondentnim tačkama gornje i donje konture jednake, u potpunosti je neutemeljena. U preseku 0, zbog uticaja radiusa, odnosno promene lokalne krutosti, naponi na gornjoj i donjoj konturi nisu jednak, o čemu uverljivo svede eksperimentalni rezultati Mendela. Na kontaktnoj površini točka i gornje površi donjeg pojasa (presek 1) javljaju se vrlo visoki Hercovi naponi, koji zbog ograničenja teorije tankih ploča, nisu ni mogli da budu obuhvaćeni naponskim analizama prezentiranim u odeljcima 2.1-2.7. Ukoliko se pretpostavi da se opterećenje nosa a unosi to kom oblika kalote prenika 125 mm, onda primena Hercovih obrazaca daje vrednost površinskog pritiska od $-186,7 \text{ kN/cm}^2$, što je gotovo za dva reda veće od absolutne vrednosti u odnosu na vrednosti date u tabeli 2.

4. ZAKLJUČAK

U zoni tranzicije donji pojas/rebro karakter podužnih napona izazvanih lokalnim dejstvom točka na širokopojasni HE-A profil, određeni primenom standarda EN 15011 razlikuje se od karaktera razmatranih napona određenih primenom MKE i postupaka svih referentnih istraživača, izuzev Hanovera i Rajhvalda, na osnovu njih istraživanja je pomenuti standard i donet. Osim toga, absolutne vrednosti lokalnih napona u posmatranoj zoni (i podužnih, i poprečnih), određene primenom standarda EN 15011 imaju najniže vrednosti, izuzimajući vrednost podužnog napona neposredno ispod točke, određenu primenom Bekerovog obrascata.

Izložene injenice upućuju na zaključak da primena navedenog standarda ne daje pouzdane rezultate kada je reč o širokopojasnim profilima i ukazuju na potrebu daljeg istraživanja problema identifikacije lokalnih naponskih stanja izazvanih tokom kolica pri njihovom kretanju po pojusu glavnog nosa a jednošinskih transportnih sistema.

5. ZAHVALNICA

U radu je publikovan deo rezultata istraživanja obavljenih tokom realizacije projekta TR 35006, finansiranog od strane Ministarstva prosvete, nauke i tehnološkog razvoja Republike Srbije.

LITERATURA

- [1] Petković Z, Gašić V, Bošnjak S, Zrnić N. Loading capacities curves for HE-A/B section runway beams

according to bottom flange bending, in Proc. 6th Triennial International Conference Heavy Machinery HM 2008, Kraljevo, Serbia, pp. B.51-B.56, 24-29 June 2008.

- [2] Seebelberg C. *Kranbahnen, Bemessung und Konstruktive Gestaltung*, Bauwerk Verlag GmbH, Berlin, 2005.
- [3] Papkovich PF. *Stroiteľnaya mehanika korablia*, Sudpromgiz, Moscow, 1941.
- [4] Hannover H, Reichwald R. Lokale Biegebeanspruchung von Träger-Unterflanschen, Teil I, *Fördern und heben*, Vol. 32, No. 6, pp. 455-460, 1982.
- [5] Hannover H, Reichwald R. Lokale Biegebeanspruchung von Träger-Unterflanschen, Teil II, *Fördern und heben*, Vol. 32, No. 8, pp. 655-660, 1982.
- [6] Becker, K. Trägerflanschbiegung durch Laufkatzen, *Fördern und heben*, Vol. 18, No. 4, pp. 231-234, 1968.
- [7] Mendel G. Berechnung der Trägerflanschbeanspruchung mit Hilfe der Plättentheorie, Teil I: Die Kragplatte veränderlicher Dicke, *Fördern und heben*, Vol. 22, No. 14, pp. 805-814, 1972.
- [8] Mendel G. Berechnung der Träger-flanschbeanspruchung mit Hilfe der Plättentheorie, Teil II: Vergleich zwischen IPE und I Profil, *Fördern und heben*, Vol. 22, No. 15, pp. 835-842, 1972.
- [9] Sahmel, P. Zur Berechnung der durch Laufkatzen hervorgerufenen Biegebeanspruchungen in Trägerflanschen, *Fördern und heben*, Vol. 19, No. 14, pp. 866-868, 1969.
- [10] EN 15011:2011+A1:2014 - Cranes. Bridge and gantry cranes, European Committee for Standardization, 2014.
- [11] Rozenshteyn BM. Issledovanie mestnykh napryazhenii v ezdovykh polkakh monorelysovych putey, *Trudi VNIIPT*, No.3. pp. 44-80, Moscow, 1961.
- [12] Gokhberg M. M. *Metallicheskie konstrukcii podyemno-transportnyh mashin*, Mashino-stroenie, Moscow, 1964.
- [13] Petersen C. *Stahlbau: Grundlagen der Berechnung und baulichen Ausbildung von Stahlbauten*, second ed., Vieweg, Braunschweig, 1990.
- [14] Walter H. D, Nachtigal P. Bemessungstafeln für Kranbahenträger von Unterflanschlaufkatzen, *Hebezeuge und Fördermittel*, Vol. 3, No. 1, pp. 15-19, 1963.

SUMMARY

CALCULATION METHODS' COMPARATIVE ANALYSIS OF MONORAIL HOIST CRANE LOCAL BENDING EFFECTS

The results of numerical and experimental researches of local bending problems, carried on classic and medium-wide I profiles, were a basis for the adoption of the current standards (EN 15011: 2014) which regulates the action of the local stress caused by the effect of cart wheels. Regarding the fact that IPB (HE-B) wide flange profiles are largely used for production of the main carriers of monorail transport systems, this paper presents the results of the action of the local stress caused by the effect of cart wheels on the HE-A flange profile, using the methods and procedures of relevant researchers, the procedures prescribed by the standard EN 15011 as well as the results of calculations using finite element method. It has been revealed, based on comparative analysis of the results, that in the transition zone low flange / rib longitudinal local stress on the lower contour flange, determined using the above mentioned standards have tightening characteristic, while all other methods, including finite element method, give the pressing nature of the considered voltage. In addition, all of these procedures, except for the finite element method, adopt the assumption that absolute value of voltage, caused by local bending on upper and lower contour of the loaded flange, are the same, and there is no physical justification. Bearing in mind the fact that stress identification, caused by the flange local bending, is an extremely important phase proving the strength of monorail beams, we may conclude that the application of standard EN 15011 does not provide reliable results when it comes to wide flange profiles.

Key words: monorail hoist crane, local bending, EN 15011, finite element method